



دانشگاه شهرستان و بلوچستان

تحصیلات تکمیلی

پایان نامه کارشناسی ارشد در رشته شیمی
گرایش شیمی فیزیک

عنوان:

تعیین پایداری نسبی در ایزو مرها مشتقات
ایزو کینولین و فناوتریدین و محاسبه انرژی سد
چرخشی حول پیوندهای ساده و دوگانه در
ترکیبات کاربامات

استاد راهنما:

دکتر سید مصطفی حبیبی خراسانی

استاد مشاور:

دکتر نورالله حاضری

تحقیق و نگارش:

سوسن عرفانی

(این پایان نامه از حمایت مالی معاونت پژوهشی دانشگاه سیستان و بلوچستان بهره مند شده است)

آذر ۱۳۹۲

بسمه تعالی

این پایان نامه با عنوان تعیین پایداری نسبی در ایزومرها مشتقات ایزوکینولین و فانتریدین و محاسبه انرژی سد چرخشی حول پیوندهای ساده و دوگانه در ترکیبات کاربامات قسمتی از برنامه آموزشی دوره کارشناسی ارشد شیمی فیزیک توسط دانشجو سوسن عرفانی با راهنمایی استاد پایان نامه دکتر سید مصطفی حبیبی خراسانی تهیه شده است. استفاده از مطالب آن به منظور اهداف آموزشی با ذکر مرجع و اطلاع کتبی به حوزه تحصیلات تکمیلی دانشگاه سیستان و بلوچستان مجاز می باشد.

(سوسن عرفانی)

این پایان نامه واحد درسی شناخته می شود و در تاریخ توسط هیئت داوران بررسی و درجه به آن تعلق گرفت.

| نام و نام خانوادگی | استاد راهنما: |
|------------------------------|-------------------------|
| دکتر سید مصطفی حبیبی خراسانی | استاد راهنما: |
| دکتر نورالله حاضری | استاد مشاور: |
| دکتر ملک طاهر مقصودلو | داور ۱ : |
| دکتر علی ابراهیمی | داور ۲ : |
| دکتر محمد انصاری فرد | نماینده تحصیلات تکمیلی: |



دانشگاه اسلامی
سیستان و بلوچستان

تعهدنامه اصالت اثر

اینجانب سوسن عرفانی تعهد می کنم که مطالب مندرج در این پایان نامه حاصل کار پژوهشی اینجانب است و به دستاوردهای پژوهشی دیگران که در این نوشته از آن استفاده شده است مطابق مقررات ارجاع گردیده است. این پایان نامه پیش از این برای احراز هیچ مدرک هم سطح یا بالاتر ارائه نشده است.

کلیه حقوق مادی و معنوی این اثر متعلق به دانشگاه سیستان و بلوچستان می باشد.

نام و نام خانوادگی دانشجو: سوسن عرفانی

امضاء

پاس و تقدیر از خداوند کیتا

به پاس تعبیر غنیم و انسانی شان از کلمه اشاره و از خود کندستی،
به پاس قلبهای بزرگشان که فریادس است و سرگردانی در پناهشان به شجاعت می‌گراید،
و به پاس محبت‌های بی دیغشان:

این مجموعه را به پدر و مادر عزیزو مهربانم تقدیم می‌کنم.

پاسکناری

حمد و پاس برای ذات پاک و بی نیاز مبودی است که به قلم قداست و به انسان کرامت بخشد. بهترین و صمیمانه ترین قدردانی ها را شار آنهایی می کنم که وقت و داشت خود را با نهایت سخاوت در اختیارم نهادند و

همواره از لطف و مساعدت های ایشان برخوردار بوده ام:

استاد فرهنگت و بزرگوار جناب آقای دکتر سید مصطفی حسینی خراسانی که راهنمایی این پایان نامه را بر عهد داشتند و با عنایت و راهنمایی های ارزشمند شان مراد انجام این پژوهش یاری نمودند.

استاد محترم دکتر نورالله حاضری به عنوان استاد مشاور این پایان نامه، که دلوزانه به من گفک کردند.

از استاد بزرگوار دکتر ملک طاهر مقصودلو و دکتر علی ابراهیمی که داوری این پایان نامه را عده دار شدند و با نظرات ارزشمند خود یاری نمودند.

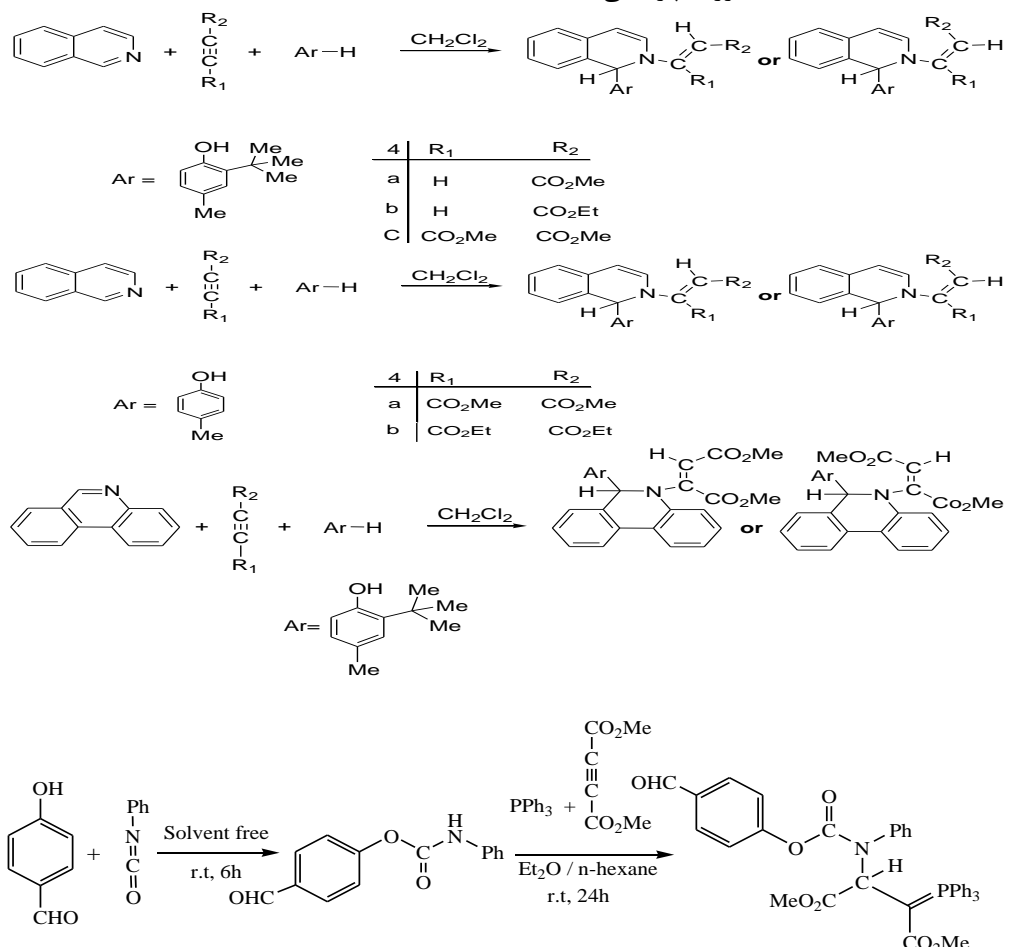
و در نهایت از جناب آقایان دکتر محمد این کاظمیان، دکتر مجتبی کشکری، صادق طلایی فر، عثمان آشری، یونس قلندرزی و خانم ها علیه کرد تمدنی، فاطمه ملائی، حبیبه دهواری، فاطمه قدسی، فهیمه عباسی و کیل-

آبادی، فاطمه ابراهیمی، نازپری میرملوچ زی، مهدیه دریجانی، مریم دهداب، شاد فر پور پناه و تمامی دوستانی که در طی این مدت همراه بوده و در به سرانجام رسیدن این پایان نامه یاری ام نمودند پاسکنارم.

چکیده:

در این تحقیق، محاسبات مربوط به پایداری نسبی ایزومرهاي چرخشی Z و E در مشتقات ایزوکینولین و فنانتریدین حاصل از واکنش بین ایزوکینولین یا فنانتریدین با استر استیلینی در حضور مشتقات فنول در سطح HF/6-31G(d,p) گزارش می شود. نتایج بدست آمده با روش های AIM ، NPA و محاسبات NMR در همین سطح مورد ارزیابی قرار گرفت. در ادامه مطالعه چرخش حول پیوند یگانه و دوگانه در ایلید پایدار فسفر حاصل از واکنش بین ۴-هیدروکسی بنزاالدهید و فنیل ایزو سیانات و تولید کاربامات به عنوان منبع NH اسید ، در حضور تری فنیل فسفین و دی متیل استیلین دی کربوکسیلات در سطح ذکر شده انجام گرفت. هدف این پژوهش، تعیین پارامترهای فعال سازی از قبیل ΔG^\ddagger , ΔH^\ddagger , ΔS^\ddagger در این ایلید فسفر بود که قبل از نتایج دینامیک ^1H NMR آن گزارش شده است.

کلمات کلیدی: مشتقات ایزوکینولین ،مشتقات فنانتریدین، ایزومرهاي Z و E ، ایلید پایدار فسفر، AIM دینامیک ^1H NMR ، سد انرژی چرخشی.



فهرست مطالب

| عنوان | | صفحه |
|--|--|------|
| فصل ۱: معرفی ترکیبات ایزوکینولین و فنانتریدین و ایلیدهای فسفر | | ۱ |
| ۱-۱- مقدمه | | ۲ |
| ۲-۱- واکنشهای چند جزئی (MCRs) | | ۲ |
| ۲-۱-۱- آزارن ها | | ۲ |
| ۲-۱-۱-۱- ایزوکینولین | | ۲ |
| ۲-۱-۱-۲- فنانتریدین | | ۵ |
| ۲-۱-۲-۱- ایلیدها و ساختار انها | | ۶ |
| ۲-۱-۲-۲-۱- فسفر | | ۶ |
| ۲-۱-۲-۲-۱- ساختار و ماهیت پیوند شیمیایی در ایلیدهای فسفر | | ۷ |
| ۲-۱-۳- ایزومری در ایلیدها | | ۸ |
| ۳-۱- واکنش سنتز فنانتریدین ، ایزوکینولین و ایلیدهای فسفر در دانشگاه سیستان و بلوچستان. | | ۱۱ |
| فصل ۲: دینامیک NMR و روشهای محاسباتی کوانتوم مکانیکی | | ۱۴ |
| ۱-۲- مقدمه | | ۱۵ |
| ۲-۲- روش میدان خودسازگار هارتی- فوک | | ۱۶ |
| ۳-۲- همبستگی الکترونی | | ۱۸ |
| ۴-۲- روش های ورای هارتی- فاک | | ۱۸ |
| ۵-۲- نظریه اتم ها در مولکول ها (AIM) | | ۱۹ |
| ۶-۲- تحلیل اوربیتال پیوندی طبیعی (NBO) | | ۲۲ |
| ۷-۲- دینامیک NMR | | ۲۲ |
| ۸-۲- معرفی نرم افزار گاوی | | ۲۳ |

| | |
|--|----|
| فصل ۳: تعیین پایداری ایزومرهای Z و E در ترکیبات ایزوکینولین و فنانتریدین و تعیین پارامترهای فعالسازی به روش محاسباتی در ایلیدهای فسفر همراه با پدیده دینامیک NMR با استفاده از تکنیکهای محاسباتی | ۲۵ |
| ۱-۳- مقدمه | ۲۶ |
| ۲-۳- معرفی واکنشهای بررسی شده | ۲۶ |
| ۳-۳- روشهای محاسباتی | ۲۷ |
| ۴-۳- بحث و بررسی نتایج | ۲۸ |
| -۱-۴-۳ کار تحقیقاتی اول: بررسی واکنش ایزوکینولین (۱) با استر استیلینی (۲) در حضور ۲-ترشی بوتیل-۴-متیل فنول (۳) | ۲۸ |
| -۲-۴-۳ کار تحقیقاتی دوم: بررسی واکنش ایزوکینولین (۱) با استر استیلینی (۲) در حضور ۲-ترشی بوتیل-۴-متیل فنول (۳) | ۴۲ |
| -۳-۴-۳ کار تحقیقاتی سوم: بررسی واکنش ایزوکینولین (۱) با استر استیلینی (۲) در حضور ۴-متیل فنول (۳). | ۴۹ |
| -۴-۴-۳ کار تحقیقاتی چهارم: واکنش فنانتریدین (۱) با استر استیلینی (۲) در حضور ۲-ترشی بوتیل-۴-متیل فنول (۳) | ۶۱ |
| -۵-۴-۳ کار تحقیقاتی پنجم: واکنش ۴-هیدروکسی-بنزالدهید (۱) وایزوسیاناتوبنز (۲) با تری فنیل فسفین (۳) در حضور دی متیل استیلن دی کربوکسیلات DMAD (۴) | ۶۸ |
| ۱۱-۳-۴-۳-۱- بررسی فرایند چرخش حول پیوند دوگانه C=C در ایلید پایدار فسفر ۵ (شکل ۱۱-۳ فرایند d) | ۸۳ |
| ۱۲-۳-۴-۳-۲- بررسی فرایند چرخش حول پیوند ساده C-C در ایلید پایدار فسفر ۵ (شکل ۱۲-۳ فرایند c) | ۸۶ |
| ۱۸-۳-۴-۳-۳- بررسی فرایند چرخش حول پیوند ساده C-N در ایلید پایدار فسفر ۵ (شکل ۱۸-۳ فرایند b) | ۹۰ |

۱۲-۳-۴-۵-۶- بررسی فرایند چرخش حول پیوند ساده C-N در ایلید پایدار فسفر ۵ (شکل

۹۳ فرایند (a)

۸۲ نتیجه گیری:

۸۴ پیوست

فهرست جدول‌ها

| عنوان | |
|---|--|
| صفحه | |
| جدول ۳-۱. انرژی نسبی (بر حسب kcal/mol) برای هر دو ایزومرهای Z و E از ترکیبات ۴a ، محاسبه شده در سطوح B3LYP/6-311++G(d,p) و HF/6-31G(d,p) ۲۹ | |
| جدول ۳-۲. انرژی نسبی (بر حسب kcal/mol) برای هر دو ایزومرهای Z و E از ترکیبات ۴b ، محاسبه شده در سطوح B3LYP/6-311++G(d,p) و HF/6-31G(d,p) ۳۰ | |
| جدول ۳-۳. پارامترهای چرخشی مهم مربوط به پیوندهای هیدروژنی ، [طول پیوندها (بر حسب انگستروم) و زاویه مربوط به آنها (بر حسب درجه)] برای ایزومرهای a و Z-4a ۳۱ | |
| جدول ۳-۴. پارامترهای چرخشی مهم مربوط به پیوندهای هیدروژنی [طول پیوندها (بر حسب انگستروم) و زاویه مربوط به آنها (بر حسب درجه)] برای ایزومرهای b و E-4b ۳۱ | |
| جدول ۳-۵. مقادیر $\rho \times 10^3$ و $\nabla^2 \rho \times 10^3$ برای ایزومر E-4a محاسبه شده در نقاط بحرانی پیوندهای هیدروژنی، همه کمیتها بر حسب واحد اتمی هستند. ۳۵ | |
| جدول ۳-۶. مقادیر $\rho \times 10^3$ و $\nabla^2 \rho \times 10^3$ برای ایزومر Z-4a محاسبه شده در نقاط بحرانی پیوندهای هیدروژنی، همه کمیتها بر حسب واحد اتمی هستند. ۳۵ | |
| جدول ۳-۷. مقادیر $\rho \times 10^3$ و $\nabla^2 \rho \times 10^3$ برای ایزومر E-4b محاسبه شده در نقاط بحرانی پیوندهای هیدروژنی، همه کمیتها بر حسب واحد اتمی هستند. ۳۵ | |
| جدول ۳-۸. مقادیر $\rho \times 10^3$ و $\nabla^2 \rho \times 10^3$ برای ایزومرهای Z-4b محاسبه شده در نقاط بحرانی پیوندهای هیدروژنی، همه کمیتها بر حسب واحد اتمی هستند. ۳۶ | |

جدول ۳-۹. پارامترهای هندسی مهم شامل مقادیر $H_{tot} \times 10^4$ -، ممان دوقطبی (بر حسب D) و تعداد پیوندهای هیدروژنی درون مولکولی برای هر دو ایزومرهاي Z و E از ترکیبات ۴a و ۴b در فاز گاز و حلالهای قطبی و غیر قطبی.....
۳۶.....

جدول ۳-۱۱. مقادیر جابجایی‌های شیمیایی (بر حسب 1H ppm) برای برخی از گروههای اصلی در ایزومر ۴a و ۴b.....
۳۸.....

جدول ۳-۱۲. مقادیر جابجایی‌های شیمیایی (بر حسب ^{13}C ppm) برای برخی از گروههای اصلی در ایزومر ۴a و ۴b.....
۳۹.....

جدول ۳-۱۳. مقادیر جابجایی‌های شیمیایی (بر حسب 1H ppm) برای برخی از گروههای اصلی در ایزومر های ۴b و ۴a.....
۴۰.....

جدول ۳-۱۴. مقادیر جابجایی‌های شیمیایی (بر حسب ^{13}C ppm) برای برخی از گروههای اصلی در ایزومرهاي ۴b و ۴a.....
۴۱.....

جدول ۳-۱۵. انرژی نسبی (بر حسب kcal/mol) برای هر دو ایزومرهاي Z و E از ترکیبات ۴c ، محاسبه شده در سطوح B3LYP/6-311++G(d,p) و HF/6-31G(d,p).....
۴۲.....

جدول ۳-۱۶. پارامترهای چرخشی مهم مربوط به پیوندهای هیدروژنی [طول پیوندها (بر حسب انگستروم) و زاویه مربوط به آنها (بر حسب درجه)] برای ایزومرهاي ۴c و ۴b.....
۴۳.....

جدول ۳-۱۷. مقادیر $\rho \times 10^3$ و $\nabla^2 \rho \times 10^3$ و $H(r) \times 10^4$ - برای ایزومر ۴c محاسبه شده در نقاط بحرانی پیوندهای هیدروژنی، همه کمیتها بر حسب واحد اتمی هستند.....
۴۵.....

جدول ۳-۱۸. مقادیر $\rho \times 10^3$ ، $\nabla^2 \rho \times 10^3$ و $H(r) \times 10^4$ - برای ایزومر ۴b محاسبه شده در نقاط بحرانی پیوندهای هیدروژنی، همه کمیتها بر حسب واحد اتمی هستند.....
۴۵.....

جدول ۳-۱۹. پارامترهای هندسی مهم شامل مقادیر $H_{\text{tot}} \times 10^4$ ، ممان دوقطبی (بر حسب D) و تعداد پیوندهای هیدروژنی درون مولکولی برای هر دو ایزومرها Z و E از ترکیب 4c در فاز گاز و حلالهای قطبی و غیر قطبی.

جدول ۳-۲۰. بارهای تعدادی از اتمهای مختلف برای هر دو ایزومرها Z و E از ترکیب 4c، بترتیب محاسبه شده توسط روش‌های AIM و NPA و کلید واژه ChelpG(d,p) در سطح HF/6-31G(d,p).

جدول ۳-۲۱. مقادیر جابجایی‌های شیمیایی (بر حسب ^1H NMR (ppm)) برای برشی از گروههای اصلی در ایزومرها E-4c و Z-4c.

جدول ۳-۲۲. مقادیر جابجایی‌های شیمیایی (بر حسب ^{13}C NMR (ppm)) برای برشی از گروههای اصلی در ایزومرها E-4c و Z-4c.

جدول ۳-۲۳. انرژی نسبی (بر حسب kcal/mol) برای هر دو ایزومرها Z و E از ترکیبات 4a، محاسبه شده در سطوح B3LYP/6-311++G(d,p) و HF/6-31G(d,p).

جدول ۳-۲۴. انرژی نسبی (بر حسب kcal/mol) برای هر دو ایزومرها Z و E از ترکیبات 4b، محاسبه شده در سطوح B3LYP/6-311++G(d,p) و HF/6-31G(d,p).

جدول ۳-۲۵. پارامترهای چرخشی مهم مربوط به پیوندهای هیدروژنی [طول پیوند] (بر حسب انگستروم) و زاویه مربوط به آنها (بر حسب درجه)، برای ایزومرها E-4a و Z-4a.

جدول ۳-۲۶. پارامترهای چرخشی مهم مربوط به پیوندهای هیدروژنی [طول پیوند] (بر حسب انگستروم) و زاویه مربوط به آنها (بر حسب درجه)، برای ایزومرها E-4b و Z-4b.

جدول ۳-۲۷. مقادیر $\rho \times 10^3$ و $H(r) \times 10^4$ در نقاط بحرانی محاسبه شده برای ایزومر E-4a

پیوندهای هیدروژنی، همه کمیتها بر حسب واحد اتمی هستند..... ۵۴

جدول ۳-۲۸. مقادیر $\rho \times 10^3$ و $H(r) \times 10^4$ در نقاط بحرانی محاسبه شده برای ایزومر Z-4a

پیوندهای هیدروژنی، همه کمیتها بر حسب واحد اتمی هستند..... ۵۴

جدول ۳-۲۹. مقادیر $\rho \times 10^3$ و $H(r) \times 10^4$ در نقاط بحرانی محاسبه شده برای ایزومر E-4b

پیوندهای هیدروژنی، همه کمیتها بر حسب واحد اتمی هستند..... ۵۵

جدول ۳-۳۰. مقادیر $\rho \times 10^3$ و $H(r) \times 10^4$ در نقاط بحرانی محاسبه شده برای ایزومر Z-4b

پیوندهای هیدروژنی، همه کمیتها بر حسب واحد اتمی هستند..... ۵۵

جدول ۳-۳۱. پارامترهای هندسی مهم شامل مقادیر $H_{tot} \times 10^4$ ، ممان دوقطبی (بر حسب D) و تعداد

پیوندهای هیدروژنی درون مولکولی برای هر دو ایزومرهای Z و E از ترکیبات 4a و 4b در فاز گاز و حللهای

قطبی و غیر قطبی..... ۵۵

جدول ۳-۳۲. بارهای تعدادی از اتمهای مختلف برای هر دو ایزومرهای Z و E از ترکیب 4a، محاسبه شده

توسط روش‌های AIM و NPA و کلید واژه CHelpG در سطح HF/6-31G(d,p)

جدول ۳-۳۳. مقادیر جابجایی‌های شیمیایی (δ) بر حسب ppm (بر حسب ^{1}H NMR) از گروههای اصلی در

ایزومرهای E-4a و Z-4a..... ۵۷

جدول ۳-۳۴. مقادیر جابجایی‌های شیمیایی (δ) بر حسب ppm (بر حسب ^{13}C NMR) از گروههای اصلی در

ایزومرهای E-4a و Z-4a..... ۵۸

جدول ۳-۳۵: مقادیر جابجایی‌های شیمیایی (بر حسب ppm) ^1H NMR برای برشی از گروههای اصلی در ایزومر های Z-4b و E-4b ۵۹

جدول ۳-۳۶: مقادیر جابجایی‌های شیمیایی (بر حسب ppm) ^{13}C NMR برای برشی از گروههای اصلی در ایزومرهاي Z-4b و E-4b ۶۰

جدول ۳-۳۷. انرژی نسبی (بر حسب kcal/mol) برای هر دو ایزومرهاي Z و E از ترکیب فنانتریدین ۴a ، محاسبه شده در سطوح B3LYP/6-311++G(d,p) و HF/6-31G(d,p) ۶۱

جدول ۳-۳۸. پارامترهای چرخشی مهم مربوط به پیوندهای هیدروژنی [طول پیوند] (بر حسب انگستروم) و زاویه مربوط به آنها (بر حسب درجه) [برای ایزومرهاي Z-4b و E-4b] ۶۲

جدول ۳-۳۹. مقادیر $\rho \times 10^3$ ، $\nabla^2\rho \times 10^3$ و $H(r)$ -برای ایزومر E-4a محاسبه شده در نقاط بحرانی پیوندۀای هیدروژنی، همه کمیتها بر حسب واحد اتمی هستند. ۶۴

جدول ۳-۴۰. مقادیر $\rho \times 10^3$ ، $\nabla^2\rho \times 10^3$ و $H(r)$ -برای ایزومر Z-4a محاسبه شده در نقاط بحرانی پیوندۀای هیدروژنی، همه کمیتها بر حسب واحد اتمی هستند. ۶۴

جدول ۳-۴۱. بارهای تعدادی از اتمهای مختلف برای هر دو ایزومرهاي Z و E از ترکیب ۴a ، محاسبه شده توسط روش‌های AIM و NPA و کلید واژه CHelpG در سطح HF/6-31G(d,p) ۶۵

جدول ۳-۴۲. پارامترهای هندسی مهم شامل مقادیر $H_{tot} \times 10^4$ ، ممان دوقطبی (بر حسب D) و تعداد پیوندۀای هیدروژنی درون مولکولی برای هر دو ایزومرهاي Z و E از ترکیبات ۴a ، در فاز گاز و حللهای قطبی و غیر قطبی. ۶۵

جدول ۳-۴۳. مقادیر جابجایی‌های شیمیایی (بر حسب ppm) ^1H NMR برای برشی از گروههای اصلی در ایزومر های Z-4a و E-4a ۶۶

جدول ۳-۴۴. مقادیر جابجایی‌های شیمیایی (بر حسب ^{13}C NMR (ppm) برای برشی از گروههای اصلی در ایزومرهای E -4a و Z -4a ۶۷

جدول ۳-۴۵. اولین داده فرکانس حاصل از دستور Freq برای Z-5 و TS-5 ۷۱

جدول ۳-۴۶. پارامترهای فعالسازی محاسبه شده برای واکنش تبدیل دو ایزومر E و Z به هم در ایلید ۵ به روش محاسباتی و روش تجربی ۷۱

جدول ۳-۴۷. اولین داده فرکانس حاصل از دستور Freq برای هر یک از ساختارهای TS, GS, ایزومر-5 و E-5 حاصل از فرایند c ۷۵

جدول ۳-۴۸. پارامترهای فعالسازی محاسبه شده برای ایزومر-5 در فرایند چرخش c حول پیوند یگانه C-C به روش محاسباتی و روش تجربی ۷۵

جدول ۳-۴۹. پارامترهای فعالسازی محاسبه شده برای ایزومر-5 در فرایند چرخش c حول پیوند یگانه C-C به روش محاسباتی و روش تجربی ۷۵

جدول ۳-۵۰. اولین داده فرکانس حاصل از دستور Freq برای هر یک از ساختارهای TS, GS, ایزومر-5 و E-5 حاصل از فرایند b ۷۸

جدول ۳-۵۱. پارامترهای فعالسازی محاسبه شده برای ایزومر-5 در فرایند چرخش b حول پیوند یگانه C-N به روش محاسباتی و روش تجربی ۷۸

جدول ۳-۵۲. پارامترهای فعالسازی محاسبه شده برای ایزومر-5 در فرایند چرخش b حول پیوند یگانه C-N به روش محاسباتی و روش تجربی ۷۸

جدول ۳-۵۳. اولین داده فرکانس حاصل از دستور Freq برای هر یک از ساختارهای TS, GS, ایزومر-5 و E-5 حاصل از فرایند a ۸۱

جدول ۳-۵۴. پارامترهای فعالسازی محاسبه شده برای ایزومر Z-5 در فرایند چرخش a حول پیوند یگانه

۸۱ C-N به روش محاسباتی و روش تجربی.....

جدول ۳-۵۵. پارامترهای فعالسازی محاسبه شده برای ایزومر E-5 در فرایند چرخش a حول پیوند یگانه

۸۱ C-N به روش محاسباتی و روش تجربی.....

فهرست شکل‌ها

| عنوان | صفحه |
|--------------------------------------|------|
| شکل ۱-۱. ساختمان شیمیایی ایزوکینولین | ۲ |

شکل ۱-۲. واکنش یومرانز فریچ

شکل ۱-۳. واکنش بیچلنیپرالسکی

شکل ۱-۴. ساختار تعدادی از مشتقات ایزوکینولین که خواص بیولوژی و صنعتی دارند.

شکل ۱-۵. ساختار مولکولی فنانتریدین

شکل ۱-۶. ساختار ایلید

شکل ۱-۷. واکنش ویتیگ جهت ایجاد پیوند دوگانه

شکل ۲-۱. نقطه زینی سه بعدی (3D) چگالی الکترون در BCP

شکل ۳-۱. واکنش بین ایزوکینولین(1) با استر استیلینی 2 (2b، 2a) در حضور ۲-ترشی بوتیل -۴-

متیل فنول (3) برای تولید ترکیبات ایزوکینولین 4 (4b، 4a).

شکل ۳-۲. (i) تعداد پیوندهای هیدروژنی درون مولکولی (خط چین) برای ایزومرهای Z-4a و E-4a . (j) قسمتی از گرافهای مولکولی، شامل نقاط بحرانی پیوندهای هیدروژنی درون مولکولی (H-BCPs) برای هر دو ایزومرهای چرخشی Z-4a و E-4a ۳۲.

شکل ۳-۳. (i) تعداد پیوندهای هیدروژنی درون مولکولی (خط چین) برای ایزومرهای Z-4b و E-4b . (j) قسمتی از گرافهای مولکولی، شامل نقاط بحرانی پیوندهای هیدروژنی درون مولکولی (H-BCPs) برای ایزومرهای چرخشی Z-4b و E-4b ۳۳.

شکل ۴-۳. واکنش واکنش بین ایزوکینولین (1) با استر استیلنی ۲c (2) در حضور ۲-ترشری بوتیل -۴-متیل فنول (3) برای تولید ترکیب ایزوکینولین ۴c ۴۲.

شکل ۳-۵. (i) تعداد پیوندهای هیدروژنی درون مولکولی (خط چین) برای ایزومرهای Z-4c و E-4c . (j) قسمتی از گرافهای مولکولی، شامل نقاط بحرانی پیوندهای هیدروژنی درون مولکولی (H-BCPs) برای هر دو ایزومرهای چرخشی Z-4c و E-4c ۴۴.

شکل ۳-۷. (i) تعداد پیوندهای هیدروژنی درون مولکولی (خط چین) برای ایزومرهای Z-4a و E-4a از ترکیب پایدار ۴a . (j) قسمتی از گرافهای مولکولی، شامل نقاط بحرانی پیوندهای هیدروژنی درون مولکولی برای هر دو ایزومرهای چرخشی Z-4a و E-4a (H-BCPs) ۵۲.

شکل ۳-۸. (i) تعداد پیوندهای هیدروژنی درون مولکولی (خط چین) برای ایزومرهای Z-4b و E-4b از ترکیب پایدار ۴b . (j) قسمتی از گرافهای مولکولی، شامل نقاط بحرانی پیوندهای هیدروژنی درون مولکولی برای هر دو ایزومرهای چرخشی Z-4b و E-4b (H-BCPs) ۵۳.

شکل ۳-۹. واکنش بین فنانتریدین (1)، استر استیلنی ۲ (2a) و ترشری بوتیل -۴-متیل فنول ()، برای تولید ترکیبات فنانتریدین ۴ (4a) ۶۱.

شکل ۳-۱۰. (i) تعداد پیوندهای هیدروژنی درون مولکولی (خط چین) برای ایزومرهای Z-4a و E-4a (j) قسمتی از گرافهای مولکولی، شامل نقاط بحرانی پیوندهای هیدروژنی درون مولکولی (H-BCPs) برای هر دو ایزومرهای چرخشی Z-4a و E-4a ۶۳

شکل ۳-۱۱.. واکنش تبدیل دو ایزومر E و Z ایلید ۵ به یکدیگر در اثر فرایند چرخش حول پیوند دوگانه C=C و چرخش حول پیوندهای یگانه C-C و HC-N و PhN-CO در دو ایزومر ۵-E و ۵-Z ۶۸

شکل ۳-۱۲. واکنش بین -هیدروکسی-بنزالدهید (1) و ایزوسیاناتوبنزن (2) با تری فنیل فسفین (3) در حضور دی متیل استیلن دی کربوکسیلات DMAD (4) ۶۸

شکل ۳-۱۳.د) هدرال O1 C2 C3 P4 شامل پیوند دوگانه C=C در ایلید ۵ ۶۹

شکل ۳-۱۴. منحنی انرژی بر حسب درجه دی هدرال حاصل از دستور Scan برای ایلید ۵ حاصل از فرایند چرخش d ۷۰

شکل ۳-۱۵ . نمایش دی هدرال O1 C2 C3 P4 در ساختارهای E و Z و TS ایلید فسفر ۵ ۷۰

شکل ۳-۱۶. چرخش حول پیوند یگانه C-C در ایزومرهای Z-5 و ۵-E ۷۳

شکل ۳-۱۷. منحنی انرژی بر حسب درجه دی هدرال حاصل از دستور Scan برای ایلید Z-5 حاصل از فرایند چرخش c ۷۴

شکل ۳-۱۸. منحنی انرژی بر حسب درجه دی هدرال حاصل از دستور Scan برای ایلید E-5 حاصل از فرایند چرخش c ۷۴

شکل ۳-۱۹. چرخش حول پیوند یگانه C-N در ایزومرهای E-5 و ۵-Z ۷۶

شکل ۳-۲۰. منحنی انرژی بر حسب درجه دی هدرال حاصل از دستور Scan برای ایلید Z-5 حاصل از فرایند چرخش b ۷۷

شکل ۳-۲۱. منحنی انرژی بر حسب درجه دی هدراال حاصل از دستور Scan برای ایلید E-5 حاصل از ۷۷ فرایند چرخش.....b

شکل ۳-۲۲. چرخش حول پیوند یگانه C-N در ایزومرهای E-5 و Z-5Z-5

شکل ۳-۲۳. منحنی انرژی بر حسب درجه دی هدراال حاصل از دستور Scan برای ایلید Z-5 حاصل از ۸۰ فرایند چرخش.....a

شکل ۳-۲۴. منحنی انرژی بر حسب درجه دی هدراال حاصل از دستور Scan برای ایلید E-5 حاصل از ۸۰ فرایند چرخش.....a

فهرست علائم

| نشانه | علامت |
|-------------------------|---------------------|
| درجه سانتی گراد | °C |
| کلوین | K |
| انرژی | kJ/mol |
| تغییرات انرژی آزاد گیبس | ΔG^\ddagger |
| تغییرات انتالپی | ΔH^\ddagger |
| تغییرات انتروپی | ΔS^\ddagger |

